ТРЕНИЕ НЕСМАЗАННЫХ ПОВЕРХНОСТЕЙ. СИЛОВОЕ ВЗАИМОДЕЙСТВИЕ

Особенности внешнего трения

Внешнее трение реализуется в отдельных, изолированных друг от друга зонах фактического контакта

Условие реализации внешнего трения

$$p_c \le \frac{0.125 HB}{\Lambda^2} \left(1 - 6 \cdot f_m\right)^2$$

HB

- твердость менее твердого тела, МПа

более комплексная характеристика шероховатости твердого тела

$$f_m = \frac{\tau_n}{HB}$$

 $f_{m} = \frac{\tau_{n}}{HR}$ - адгезионная (молекулярная) составляющая коэффициента трения

$$\tau_n = \tau_o + \beta \cdot p_n$$

 $au_n = au_o + eta \cdot p_r$ - средние касательные напряжения, возникающие на границах раздела в результате межмолекулярных взаимодействий

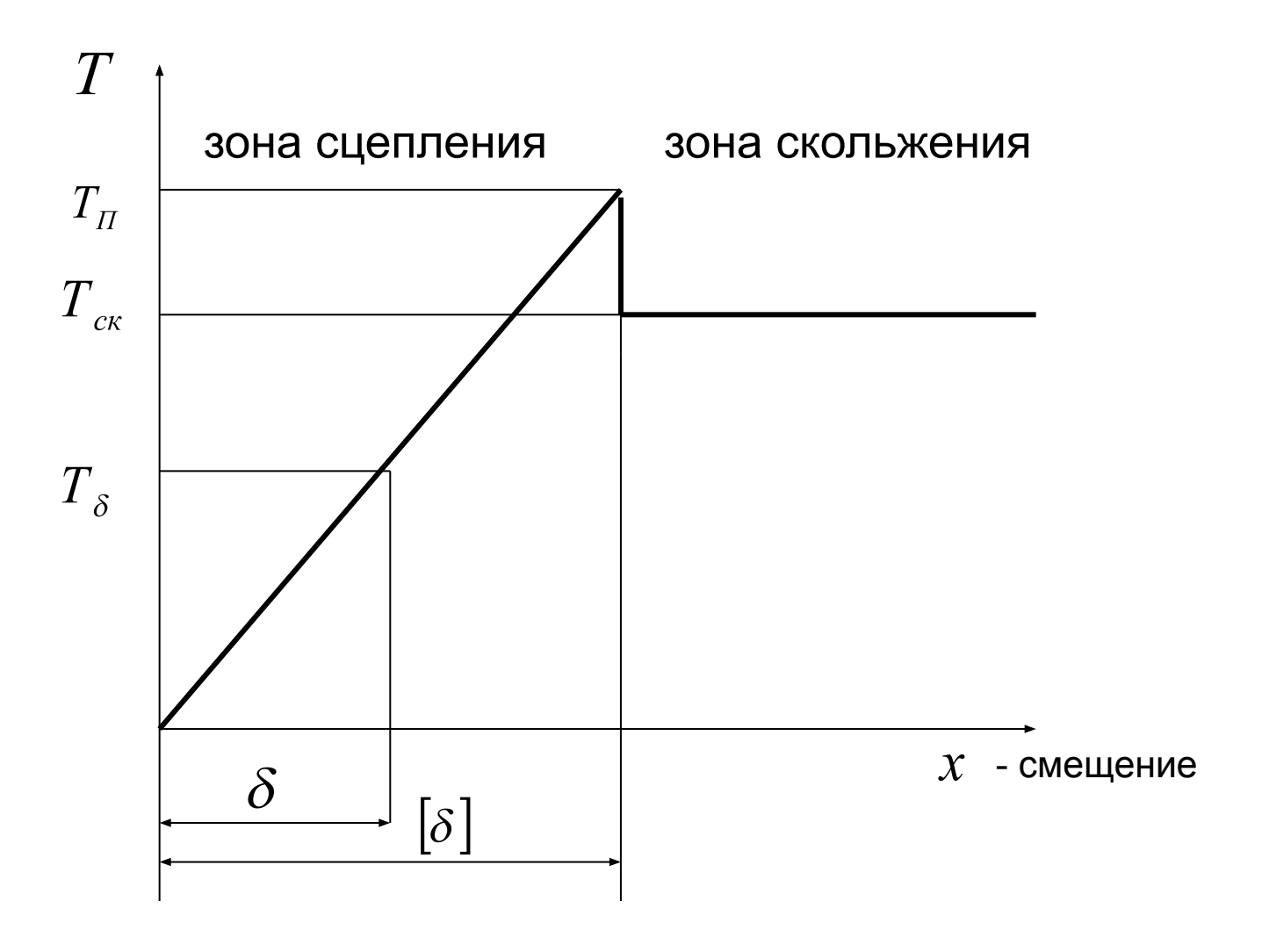
$$\tau_o, \beta$$

фрикционные параметры, определяемые экспериментально

фактическое

давление

Предварительное смещение



Предварительное смещение

Величина предварительного смещения

$$\delta = \left[\delta\right] \left\{ 1 - \left[1 - \frac{T}{f \cdot N}\right]^{0,4} \right\}$$

Максимальная величина предварительного смещения

$$[\delta] = 0.84 \cdot f \cdot R_{\text{max}} \cdot \varepsilon$$

$$[\delta] = 4.9 \cdot f \cdot r \cdot \left(\frac{p_c}{E}\right)^{0.4} \cdot \Delta^{0.9}$$

ННУК

$$[\delta] = 1.41 \cdot r \cdot \Delta^{0.5} \cdot \left(\frac{p_c}{HB}\right)^{0.25} \left[1.19(1+f^2)^{0.125} - 1\right]$$

ННПК

$$[\delta] = 1.41 \sqrt{r \cdot R_{max}} \left(\frac{p_c}{HB}\right)^{0.5} \left[1.41 \left(1 + f^2\right)^{0.25} - 1\right]$$

НПК

Закон Амонтона – Кулона

$$f = \frac{T}{N}$$

N – нормальная нагрузка

Т – сила трения

Сила трения складывается из сил, возникающих при скольжении на отдельных микронеровностях:

$$T = \int_{0}^{n_r} T_i \cdot d_{nr}$$

Сила трения включает две составляющие - адгезионную (молекулярную) и когезионную (деформационную).

$$T_i = T_{mi} + T_{\partial i}$$

Молекулярная составляющая

$$T_{mi} = \tau_n \cdot \pi \cdot r \cdot h_i$$

Деформационная составляющая

1) для упругого контакта

$$T_{\partial i} = 0.25\alpha_{\partial \phi} \cdot \frac{h_i^2}{\Theta}$$

$$\alpha_{9\phi} = 2.5\alpha_{\Gamma}$$

2) для пластического контакта

$$T_{\partial i} = 1,68 \cdot HB^{0,5} \cdot h_i^{1,5}$$

```
n_r^{} - число фактических пятен контакта радиус r микронеровностей сближение h_i^{} микронеровностей - коэффициент гистерезисных lpha_{\Gamma}^{} потерь.
```

ННУК
$$f = \frac{2.4 \cdot \Theta^{0.8}}{p_c^{0.2} \cdot \Delta^{0.4}} \cdot \tau_0 + \beta + 0.24 \alpha_{_{9}\phi} \cdot p_c^{0.2} \cdot \Delta^{0.4} \cdot \Theta^{0.2}$$

Для материалов с высоким модулем упругости (металлы)

$$f_{\min} = 1.41\sqrt{\tau_0 \cdot \alpha_{9\phi} \cdot \Theta} + \beta$$

При контурном давлении

$$p_c = \frac{2,2 \cdot 10^2}{\Delta^2} \left[\frac{\tau_0}{\alpha_{9\phi}} \cdot \Theta^{0,6} \right]^{2,5}$$

При комплексной характеристике шероховатости

$$\Delta = \frac{15\Theta^{0,75}}{p_c^{0,5}} \cdot \left(\frac{\tau_0}{\alpha_{9\phi}}\right)^{1,25}$$

HHПК
$$f = \frac{\tau_0}{HB} + \beta + 0.5 \cdot \Delta^{0.5} \cdot \left(\frac{p_c}{HB}\right)^{0.25}$$

При переходе упругих деформаций в пластические

$$f_{min} = f + 0.9(\Theta \cdot HB)^2$$

При контурном $p_c = 7.5 \cdot \Delta^{-2} \cdot \Theta^4 \cdot HB^5$

При комплексной характеристики шероховатости

$$\Delta = 2.7 \cdot p_c^{-0.5} \cdot \Theta^2 \cdot HB^{2.5}$$

С ростом нагрузки ННПК переходит в НПК и при дальнейшем ее росте коэффициент трения постоянно растет, достигая величины для НПК

$$f_{\text{max}} = f_m + 0.3 \cdot \Delta^{0.5}$$

При контурном $p_c o 0.33 HB$

Рост величины коэффициента трения ограничен несущей способностью микронеровностей, которая теряется при достижении относительного сближения

$$\varepsilon = 0.445$$

ННУК
$$f \sim p_c^{-0,2}$$
 $f \sim \Delta^{-0,4}$ $f \sim E^{-0,8}$ ННПК $f \sim p_c^{0,25}$ $f \sim \Delta^{0,5}$ $f \sim HB^{-1}$

С ростом нагрузки по мере перехода от упругого контакта к пластическому коэффициент трения переходит через минимум в зоне упругого контакта и возрастает при пластическом контакте.

При пластическим контакте с уменьшением комплексной характеристики шероховатости коэффициент трения уменьшается, но в определенный момент пластический контакт переходит в насыщенный, что ведет уже к росту коэффициента трения.